

перпендикулярное к  $\mathbf{v}$ . В пределе  $|u|/c \equiv u/c \ll 1$  и  $|\mathbf{v}|/c \equiv v/c \ll 1$  ф-лы (2) переходят в (1). В случае, когда скорости  $u$  и  $v$  параллельны, (2) переписывается в виде

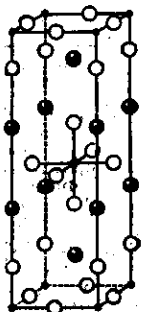
$$u' = \frac{u-v}{1-u v/c^2}. \quad (3)$$

Из ф-лы (3), в частности, следует, что если  $u = c$ , то и  $u' = c$  независимо от  $v$ , т. е. абр. величина скорости света не зависит от движения системы отсчёта. Тот же вывод справедлив, разумеется, и при произвольном направлении скоростей, когда надо пользоваться ф-лой (2).

В случае неравномерных относит. движений двух систем отсчёта, а также при наличии *тяготения* (т. е. в случае общей теории относительности) все приведённые соотношения справедливы в локально сопутствующих инерциальных системах отсчёта  $K$  и  $K'$ , т. е. в таких бесконечно малых системах отсчёта, к-рые в данный момент и в данном месте неподвижны относительно рассматриваемых систем  $K$  и  $K'$ , соответственно и в к-рых в этот момент нет сил ускорения и нет вращения и деформаций, т. е. они локально инерциальны.

*Лит.* см. при ст. *Относительности теория*. И. Д. Новиков.

**СЛОЙСТЫЕ МАГНЕТИКИ** — кристаллич. вещества, в к-рых обменное взаимодействие внутри слоёв (плоскостей), содержащих магн. ионы, существенно превышает межплоскостные обменные взаимодействия (энергии взаимодействий соответственно  $J_E$  и  $J'$ ). Малость межплоскостных взаимодействий обычно вызвана относит. удалённостью магн. плоскостей друг от друга, а также типом магн. упорядочения. Так, в  $K_2NiF_4$ , кристаллич. решётка, к-рого показана на рис., антиферромагн. обмен внутри плоскости и относительное расположение магн. слоёв приводят к ослаблению межплоскостного магн. взаимодействия.



Кристаллическая структура соединения  $K_2NiF_4$ .

В простейших моделях С. м. можно рассматривать как систему независимых двумерных ( $2D$ -)магнетиков. Различают след. типы внутримолекулярного магн. упорядочения: *a*) гейзенберговский, *b*)  $x - y$ , или планарный, *c*) изинговский (см. *Двумерные решёточные модели*). Их реализация зависит от характера энергии спиновой магнитной анизотропии. В случае *a*) эта энергия пре-небрежимо мала, случаи *b*) и *c*) соответствуют т. н. анизотропии типа «лёгкая плоскость» и «лёгкая ось». Типичными для случая *a*) являются вещества, в к-рых магн. подрешётки составлены из ионов  $Mn^{2+}$  или  $Fe^{2+}$ . По Хунда правилу орбитальный момент обоих ионов  $L = 0$ , а анизотропия, вызываемая эффектами *внутри-кристаллического поля*, отсутствует. Те же эффекты отсутствуют и для магн. ионов  $Cu^{2+}$ , имеющих спин  $S = -\frac{1}{2}$ . Единств. источник анизотропии в этих веществах — слабое магн. диполь-дипольное взаимодействие. Типичными для случая *b*) являются магн. ионы  $Ni^{2+}$  и  $Fe^{2+}$ , а для случая *c*) — ионы  $Co^{2+}$ .

В  $2D$ -гейзенберговских магнетиках (см. *Гейзенберга модель*) магн. упорядочение отсутствует при отличной от нуля темп-ре [1]. В  $2D$ -планарных магнетиках также отсутствует спонтанная намагниченность, но существует никакотемпературная магн. фаза, характеризующаяся «магнитной жёсткостью» [2] и испытывающая фазовый переход Березинского — Костерлицца — Таулеса [3] в разупорядоченное состояние (см. *Магнитный фазовый переход*). В  $2D$ -изинговских магнетиках при низких темп-рах спонтанная намагниченность отлична от нуля, т. е. они упорядочены (см. *Изинга модель*).

В случаях *a*) и *b*) учёт слабых внеш. (по отношению к внутримолекульному взаимодействию) полей приводит к сильному нелинейному отклику системы. В качестве таких полей можно рассматривать слабые межплоскостные взаимодействия [4]. В изинговских магнетиках эти взаимодействия оказываются существенными в малой окрестности  $\Delta T$  темп-ры  $T_c$  фазового перехода [5]:

$$\Delta T \sim T_c (J'/J_E)^{\alpha},$$

где критич. флуктуации (см. *Критические явления*) становятся трёхмерными.

Примером изинговского магнетика может служить  $CeSb$ . Для него характерно ферромагн. изинговское упорядочение в плоскостях с перпендикулярным к плоскостям направлением намагниченности. Слабый обмен между ближайшими и следующими за ближайшими магн. слоями обуславливает сложную периодич. магн. структуру. Фазовая диаграмма «температура  $T$  — магн. поле  $H$ »  $CeSb$  насчитывает 14 разл. магнитоупорядоченных структур [6], периодичность к-рых достигает 13 периодов решётки (см. *Магнитная атомная структура*).

К слоистым планарным магнетикам относится  $(C_6H_{2n+1}NH_3)_2CuCl_4$  ( $n = 1, 2, 3, 4, 5, 6, 10$ ) [7]. Внутриплоскостное обменное взаимодействие приводит к ферромагн. упорядочению. Благодаря слабой анизотропии этого взаимодействия такие магнетики оказываются планарными. Отношение энергии анизотропии  $J_A$  к энергии внутримолекулярного обменного взаимодействия  $J_E$  составляет по порядку  $10^{-4}$ — $10^{-3}$ . Межплоскостные взаимодействия в несколько раз меньше поля анизотропии ( $J' < J_A$ ) и в соединении  $(CH_3NH_3)_2CuCl_4$  имеют ферромагн. характер, а в остальных соединениях этого типа — антиферромагнитный.

В сравнительно широкой области полей (до 1000 Э) ферромагнетик  $K_2CuF_4$  [8] с кристаллич. структурой, аналогичной  $K_2NiF_4$  (отношение взаимодействий:  $J':J_A:J_E \sim 10^{-3}:10^{-2}:1$ ), ведёт себя как планарный.

Особо следует выделить *интеркалированные соединения*. Процесс интеркалирования графита позволяет приготовлять С. м. с хорошо выдержанной периодичностью в расположении магн. ионов и с варьируемым значением межплоскостной связи. Впервые в таких соединениях с внедрённым  $CoCl_2$  была найдена существенно нелинейная зависимость намагниченности  $M$  от магн. поля  $H$  [9]:  $M \sim H^n$ , что характерно для поведения  $2D$ -гейзенберговских магнетиков.

*Лит.*: 1) M e g g i n N., W a g n e r H., Absence of ferromagnetism or antiferromagnetism in one- or two-dimensional isotropic Heisenberg models, «Phys. Rev. Lett.», 1966, v. 17, p. 1133; 2) Б е р е з и н с к и й В. Л., Разрушение дальнего порядка в одномерных и двумерных системах с непрерывной групповой симметрией, «ЖЭТФ», 1970, т. 59, с. 907; 3) K o s t e l i c z J. M., Thouless D. I., Ordering metastability and phase transition in two-dimensional systems, «J. Phys.», 1973, v. 56, p. 1181; 4) П о к р о в с к и й В. Л., У и л и н Г. В., Магнитные свойства плоских и слоистых систем, «ЖЭТФ», 1973, т. 65, с. 1891; 5) O n s a g e r L., Crystal statistics. A two-dimensional model with an order-disorder transition, «Phys. Rev.», 1944, v. 65, p. 117; 6) R o s s a t - M i g n o d J. и д р., Magnetic properties of cerium monopnictides, «J. Magn. and Magn. Mater.», 1983, v. 31—34, p. 399; 7) D e Jongh L. J., van Amstel W. D., M i e d e m a A. R., Magnetic measurements on  $(C_6H_{2n+1}NH_3)_2CuCl_4$ : ferromagnetic layers coupled by a very weak antiferromagnetic interaction, «Physica», 1972, v. 58, p. 277; 8) H i r k a w a K., U b u k o s h i K., Magnetization measurements of two-dimensional planar ferromagnet  $K_2CuF_4$ , «J. Phys. Soc. Japan», 1981, v. 50, p. 1909; 9) К а р и м о в Ю. С., Исследование неупорядоченного состояния двумерных ферромагнетиков, «ЖЭТФ», 1973, т. 65, с. 281. Г. В. Ульянин.

**СЛУХ** — способность человека и большинства животных воспринимать продольные звуковые колебания окружающей среды (обычно воздуха или воды). Частотная граница С. со стороны НЧ составляет обычно 10—20 Гц; ВЧ-граница С. сильно различается у разных животных: многие рыбы, земноводные и пресмыкающиеся не воспринимают сигналы частотой выше 1,0—2,0 кГц, в то время как верх. частотная граница С. у летучих мышей превышает 100 кГц, а у дельфинов достигает 200 кГц; приближается к 100 кГц верх. частотная граница С. нек-рых насекомых. У человека